# 转移矩阵

任杰

### 1 一维经典伊辛模型

转移矩阵的概念最早是在处理经典伊辛模型中引入的,因此我们从最简单的一维经典伊辛模型为例引入 转移矩阵的概念。考虑一个 N 格点周期边界系统:

$$H = -J\sum_{i} s_i s_{i+1},\tag{1}$$

我们处理的是一个经典统计问题。考虑配分函数:

$$Z = \sum_{\{s_i\}} \prod_i \exp\left(K s_i s_{i+1}\right),\tag{2}$$

其中 K = J/kT. 注意到配分函数可以写为一个乘积形式:

$$Z = Tr\left(T^{N}\right),\tag{3}$$

$$T_{ss'} = e^{Kss'} = \begin{pmatrix} e^K & e^{-K} \\ e^{-K} & e^K \end{pmatrix}. \tag{4}$$

由此引入的矩阵就是我们将要介绍的转移矩阵。我们将要说明,转移的本征谱可以给出系统的统计信息。

### 1.1 转移矩阵谱与临界点

我们首先给出 T 的谱分解:

$$T = \lambda_0 |0\rangle \langle 0| + \lambda_1 |1\rangle \langle 1|, \qquad (5)$$

其中

$$\lambda_0, \lambda_1 = 2\cosh K, 2\sinh K,\tag{6}$$

$$|0\rangle, |1\rangle = \frac{1}{\sqrt{2}} \begin{pmatrix} 1\\ \pm 1 \end{pmatrix} \tag{7}$$

回到原来的问题。得到转移矩阵 T 的谱之后(往往我们只会用到本征值), 我们可以计算配分函数:

$$Z = \langle 0|T^{N}|0\rangle + \langle 1|T^{N}|1\rangle$$

$$= \lambda_{0}^{N} + \lambda_{1}^{N}$$

$$= \lambda_{0}^{N} \left[1 + \left(\frac{\lambda_{1}}{\lambda_{0}}\right)^{N}\right]$$

$$= (2\cosh K)^{N} \left[1 + \tanh^{N} K\right]. \tag{8}$$

从配分函数的形式中,我们看到当我们取热力学极限:  $N \to \infty$  时, $Z \to (2\cosh K)^N$ 。热力学极限下的平均自由能

$$f := -\lim_{N \to \infty} \frac{1}{N} \ln Z = -2 \ln \lambda_0. \tag{9}$$

完全来自于转移矩阵的基态。当我们改变温度,若转移矩阵的本征值发生交叉,体系自由能在交叉处就会有非解析性,该临界点就发生了热力学相变。转移矩阵谱的简并意味着相变临界点,对于我们现在讨论的模型,有限温度时总是有 $\lambda_0 > \lambda_1$ ,即一维经典伊辛模型只有一个相。

#### 1.2 转移矩阵谱与关联长度

在继续我们的讨论之前。考虑格点算符  $O_i$  关联函数 (设 i < j):

$$\langle O_i O_j \rangle = \frac{Tr \left[ Z O_i O_j \right]}{Tr \left[ Z \right]}$$

$$= \frac{Tr \left[ T^N O_i O_j \right]}{Tr \left[ T^N \right]}$$

$$= \frac{Tr \left[ T^i O_i T^{j-i} O_j T^{N-j} \right]}{Tr \left[ T^N \right]}.$$
(10)

此形式类似编时关联函数。实际上,以转移矩阵作为桥梁,我们可以将一个 d 维经典统计问题和一个 d - 1 维量子统计问题相互转化,我们会在以后讨论这个问题。这里,我们写出分母低阶表达式:

$$Tr\left[T^{i}O_{i}T^{j-i}O_{j}T^{N-j}\right] \approx \lambda_{0}^{N}\left[\left\langle 0|O_{i}|0\right\rangle\left\langle 0|O_{j}|0\right\rangle + \left(\frac{\lambda_{1}}{\lambda_{0}}\right)^{j-i}\left\langle 0|O_{i}|1\right\rangle\left\langle 1|O_{j}|0\right\rangle\right]. \tag{11}$$

$$\langle O_{i}O_{j}\rangle_{c} = \langle O_{i}O_{j}\rangle - \langle O_{i}\rangle \langle O_{j}\rangle$$

$$= \left(\frac{\lambda_{1}}{\lambda_{0}}\right)^{j-i} \langle 0|O_{i}|1\rangle \langle 1|O_{j}|0\rangle.$$
(12)

关联长度由  $\lambda_1/\lambda_0$  确定。这从另一个角度说明相变临界点物理意义,即无穷关联长度。对于一维情形,取  $O_i=s_i$ :

$$\langle s_i s_j \rangle = (\tanh K)^{|i-j|}.$$
 (13)

#### 1.3 转移矩阵联系经典与量子系统

在这一步, 我们在原来体系中引入磁场:

$$H = -J\sum_{i} s_{i} s_{i+1} - h\sum_{i} s_{i}, \tag{14}$$

$$Z = \sum_{\{s_i\}} \prod_i \exp\left(Ks_i s_{i+1}\right) \cdot \prod_i \exp\left(Hs_i\right), \tag{15}$$

其中 K = J/kT, H = h/kT. 利用类似的方法, 定义:

$$V_{ss'}^{(1)} = \exp\left(Kss'\right) \propto \exp\left(K^*\sigma^x\right)_{ss'},\tag{16}$$

$$V^{(2)} = \exp\left(H\sigma^z\right),\tag{17}$$

其中  $\tanh K^* = e^{-2K}$ . 注意这里  $V^{(1)}, V^{(2)}$  的定义方式有所不同, $V^{(1)}$  定义式中 s 作为脚标, $V^{(2)}$  定义中 s 被看作算符本身  $(\sigma^z)$ ,两种方式得到的矩阵往往是非对易的,这是转移矩阵"量子"的来源。转移矩阵现在可以写为:

$$T = \sqrt{V^{(2)}}V^{(1)}\sqrt{V^{(2)}},\tag{18}$$

其中我们将  $V^{(2)}$  拆为 2 半以使转移矩阵是厄米的,这样定义的转移矩阵同样满足:

$$Z = Tr\left[T^N\right]. \tag{19}$$

若  $K^*, H \ll 1$ , 我们可以交换矩阵位置:

$$T \approx V^{(1)}V^{(2)} = \exp\left[-\frac{\beta}{N}\left(-\sigma^x - \frac{h}{K^*}\sigma^z\right)\right],\tag{20}$$

其中  $\beta = KN$ , 也就是说, 转移矩阵对应一个 0 维量子系统

$$\mathcal{H} = -\sigma^x - \frac{h}{K^*} \sigma^z \tag{21}$$

的虚时演化。现在回头看上一节中伊辛模型关联函数:

$$\langle O_i O_j \rangle = \frac{Tr \left[ T^i O_i T^{j-i} O_j T^{N-j} \right]}{Tr \left[ T^N \right]}$$

$$= \frac{Tr \left[ e^{-\beta \mathcal{H}} O \left( \tau_i \right) O \left( \tau_j \right) \right]}{Tr \left[ e^{-\beta \mathcal{H}} \right]}, \tag{22}$$

其中我们定义:

$$O(\tau_i) = T^{-i}OT^i = e^{\frac{\beta}{N}i}Oe^{-\frac{\beta}{N}i}, \tag{23}$$

这正是定义在有限温度量子体系中的松原函数。

再次总结该模型中得到的结果。我们从一维经典统计系统的配分函数出发,将配分函数分割成 N 个转移矩阵的乘积,这 N 个乘积正对应了统计系统的一个维度。这样,转移矩阵对应少一个维度的体系虚时演化,我们可以由此得到一个 1-1 维 (量子) 系统。而此量子系统的松原函数对应经典系统关联函数。同时,热力学相变临界点对应转移矩阵谱基态简并,而这正对应 1-1 维量子体系能隙关闭处,因此,d-1 维量子体系量子临界点对应 d 维经典体系热力学临界点。0 维量子体系不存在相变,这也佐证了 1 维经典伊辛模型只有一个相的结论。

## 2 二维经典伊辛模型

一维模型作为例子足够说明转移矩阵的性质。但一维经典体系没有相变,更加非平庸的结论存在于二维体系中。考虑二维经典伊辛模型  $(N \times M)$ :

$$H = -J_{\tau} \sum_{i,j} s_{i,j} s_{i,j+1} - J_x \sum_{i,j} s_{i,j} s_{i+1,j}.$$
(24)

配分函数为:

$$Z = \sum_{\{s_{i,j}\}} \prod_{i,j} \exp(K_{\tau} s_{i,j} s_{i,j+1}) \cdot \prod_{i,j} \exp(K_{x} s_{i,j} s_{i+1,j}).$$
(25)

配分函数和一维情形基本一致,只是扩展了一个维度。这时,转移矩阵代表一行 N 个矩阵指标:

$$V^{(1)}\left(s_1, \dots, s_N; s_1', \dots, s_N'\right) = \prod_i \exp\left(K_\tau s_i s_i'\right) \propto \exp\left(K_\tau^* \sum_i \sigma_i^x\right),\tag{26}$$

$$V^{(2)} = \exp\left(K_x \sum_i \sigma_i^z \sigma_i^z\right),\tag{27}$$

同样  $\tanh K_{\tau}^* = e^{-2K_{\tau}}$ . 重复以上的讨论,转移矩阵最终对应到一个一维量子哈密顿量:

$$\mathcal{H} = -\sum_{i} \sigma_i^x - \frac{K_x}{K_\tau^x} \sum_{i} \sigma_i^z \sigma_j^z, \tag{28}$$

这正是一维量子横场伊辛模型。该模型量子临界点在

$$\frac{K_x}{K_\tau^*} = 1 \tag{29}$$

处。若  $J_x = J_\tau$ :

$$K = K^*, (30)$$

$$e^{-2K} = \tanh K,\tag{31}$$

$$K = \frac{1}{2}\ln\left(1 + \sqrt{2}\right) = \frac{J}{kT}.\tag{32}$$

我们由此得到二维伊辛模型临界温度:

$$\frac{kT}{J} = \frac{2}{\ln\left(1 + \sqrt{2}\right)} \approx 2.269. \tag{33}$$

## 3 零温转移矩阵与量子相变

对热力学系统, 配分函数实际是密度矩阵

$$\rho = \sum_{n} e^{-\beta E_n} |n\rangle \langle n|, \qquad (34)$$

$$Z = Tr\left[\rho\right] \tag{35}$$

对于处在零温的量子系统,密度矩阵就是基态。此时配分函数就是态内积,由此可以将转移矩阵的概念拓展到 零温量子系统。这时直观的图像可以用矩阵乘积态表述:

图 1: MPS 转移矩阵

关联函数也有类似形式:

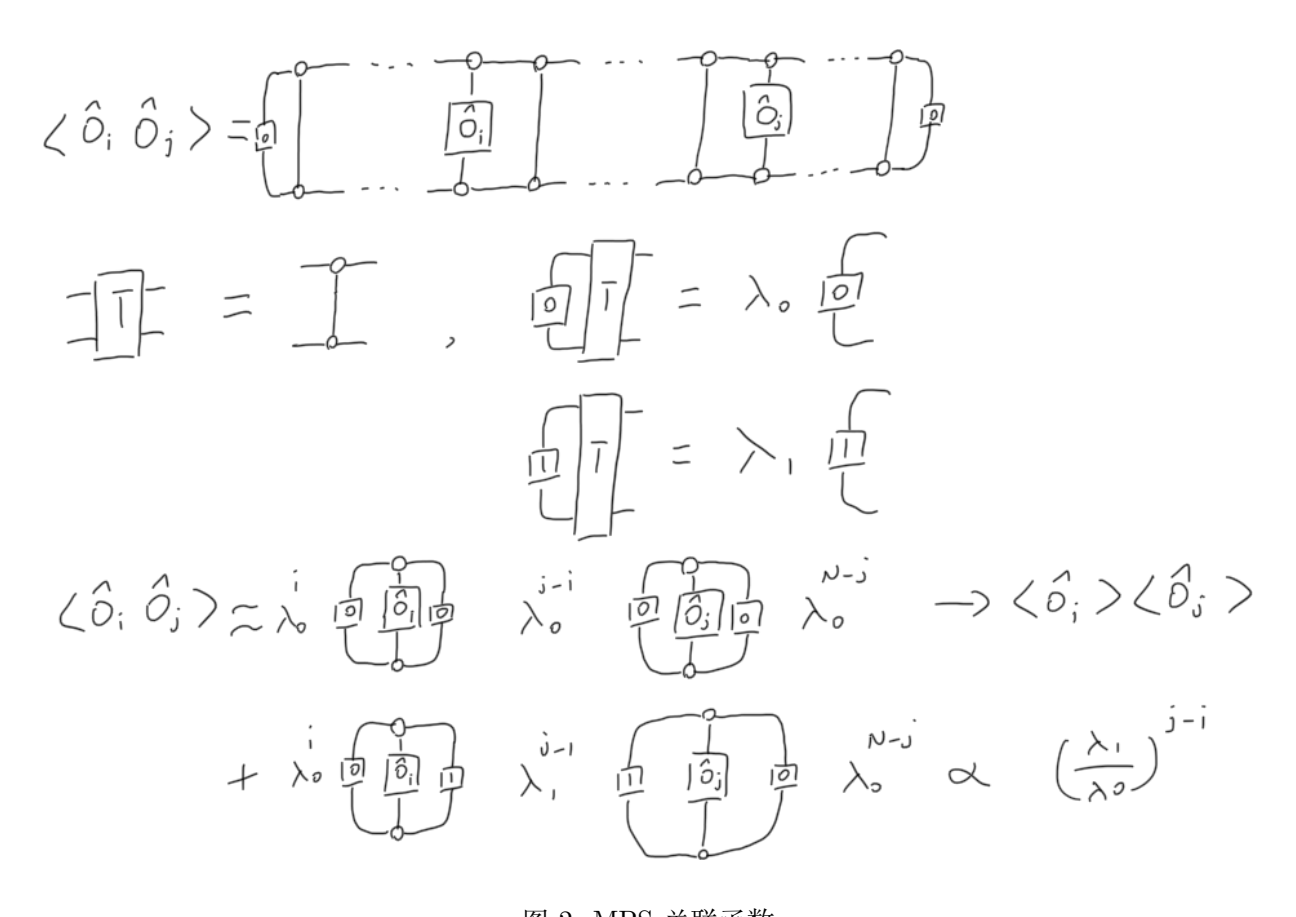


图 2: MPS 关联函数

同样,量子相变临界点对应转移矩阵基态简并。